دراسة المسار العام لدرجات الحرارة والتنبؤ

بها في محطة البصرة المناخية

المدرس الدكتور على مهدي الدجيلي جامعة الكوفة /كلية التربية للبنات

المستخلص:

البحث هو دراسة جغرافية مناخية يهدف لدراسة المسار بـ(١,٤١,٨)مْ على التوالي. العام لدرجات الحرارة، وفهم وتحليل سلوكه خلال فترة البحث ولوحظ ايضا ً ان المسار العام المتوقع لدرجات الحرارة السنوية والتنبؤ بطبيعة مساره خلال السنوات العشرين القادمة ٢٠٠٦ - ٢٠٠٦) في منطقة الدراسة.

> وتحقيقا لهدف البحث والوصول لتحليل البيانات واستخراج المعالم الإحصائية استخدمت الوسائل الإحصائية من خلال برنامج(Minitab) وتقنية السلاسل الزمنية للمسار العام لدرجات الحرارة السنوية للفترة(١٩٤١–٢٠٠٥)م ، وأجراء العمليات القياسية على البيانات ، من خلال اختبار(Ryan- Joiner) لقياس المعيارية، لغرض بناء غوذج تنبؤي، والتأكد من الثقة بالنموذج استنادا لإحصائية (بوكس- بيرس) المحورة وصولاً للتنبؤ بدرجات الحرارة المتوقعة خلال السنوات القادمة(٢٠٠٦ - ٢٠٠٥)م في منطقة

> توصل البحث الي مجموعة من النتائج، كان أبرزها إن المسار العام لدرجات الحرارة أخذ نحو الزيادة بشكل زادت وتيرته خلال السنوات الأخيرة من البحث، بحيث تباين مقدار الاتجاه العام خلال الفترات الثلاث من البحث، وكان مقداره خلال الفترة الأولى والثانية والثالثة (٠٠٠٠، ٥٠،٠٠) على التوالي، وبمعدلات لدرجات الحرارة للفترات الثلاث (٠,١٤,٤,٢٤,٤)مْ على التوالي، وعليه سجلت الفترة الثالثة خلال السنوات(١٩٨٣ - ٢٠٠٥)م زيادة ملحوظة في درجات الحرارة، ومساراً عاماً نحو الارتفاع، بحيث ارتفع

عما سجلته معدلات درجات الحرارة خلال الفترة الأولى والثانية

مستمر بالارتفاع بشكل يفوق مسارات درجات الحرارة السنوية خلال فترة البحث، وان المسار العام لدرجات الحرارة في منطقة الدراسة، قد توافق مع ما هو عليه المسار العام لدرجات الحرارة العالمية.

المقدمة:

تشكل ظاهرة ارتفاع درجات الحرارة مصدر قلق حقيقى على النطاق العالمي، ويتطلع المناخيون اليوم في خضم المعركة الرقمية وتكنولوجيا المعلومات الى التوصل الى طريقة مثلى للتنبؤ بالظروف المناخية وتغيراتها والعمل على رفع القدرة للتنبؤ الدقيق بحالة المناخ، ويبدو ان الاتجاه نحو هذه التغيرات يجري بمعدل اسرع مما كانت تتنبأ به المعطيات المناخية ، والسير نحو تغير مناخى سمته الأساسية ارتفاع درجة حرارة الأرض. ولذلك يعد التنبؤ (Forecasting) أداة أساسية للتخطيط المستقبلي في مجمل النشاطات ، ووسيلة لاتخاذ القرارات الصائبة في هذا الشأن.

وتتلخص مشكلة البحث بما يلى:

١. ماهو المسار العام لدرجات الحرارة في محطة البصرة؟

هل يمكن التنبؤ بدرجات الحرارة السنوية في منطقة الدراسة؟

في حين تتمثل فرضية البحث والتي هي تفسير مؤقت للظواهر،

متى ثبت صدقه أصبح قانونا عاما بما يلى:

- إن المسار العام لدرجات الحرارة في محطة البصرة اخذ بالارتفاع.
- يمكن التنبؤ بدرجات الحرارة السنوية في منطقة ٠٢. الدراسة.

وتشغل منطقة الدراسة الحدود الإدارية لمحافظة البصرة وهي تشكل الطرف الجنوبي الشرقى من العراق وتمثلها محطة البصرة لمناخية الواقعة على ارتفاع (٢م) وعند دائرة عرض (٣٠٣٤°) (لاحظ الشكل (١)).

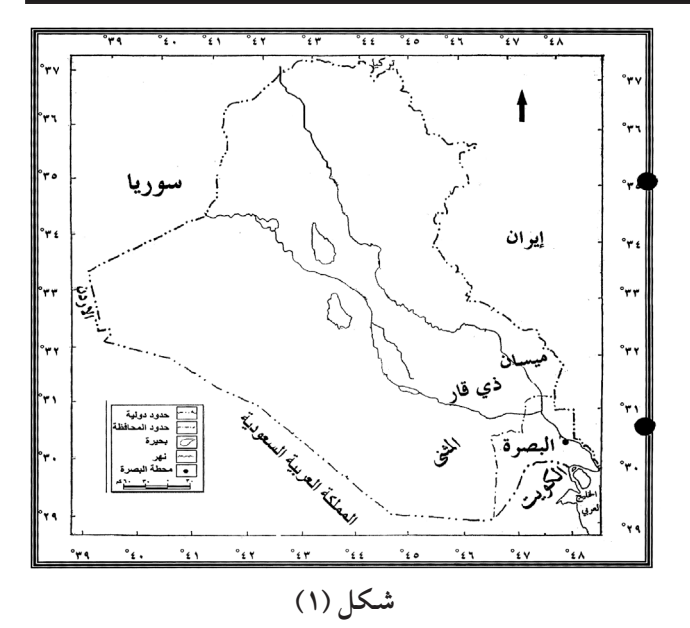
يهدف البحث إلى دراسة المسار العام لدرجات الحرارة ، والتنبؤ بدرجاتها للسنوات القادمة (٢٠٠٦-٢٠٠٥)، ومن ثم المصدر: جمهورية العراق، وزارة الري، الهيئة العامة فهم وتحليل سلوك الظاهرة موضوع البحث من خلال اعتماد الوسائل الإحصائية في ذلك.

> اعتمدت تقنية السلاسل الزمنية(Time series) في دراسة ظاهرة البحث، وهي طريقة معتمدة عندتحليل الظواهر المتعاقبة ولفترة زمنية متسلسلة ومن خلال برنامج(۱٤ Minitab)× تم تحليل البيانات واستخراج المعالم الإحصائية وبناء نموذج تنبؤي استنادا ً لطريقة (بوكس-بيرس) المحورة، واختبار السلسلة الزمنية من خلال الفرضيتين الآتيتين: -

الدراسة التوزيع الطبيعي.

×راجع مايلى:

- فتحي عبد العزيز ابو راضي، مبادئ الإحصاء الاجتماعي، الجزء الثاني، الإسكندرية، دار المعرفة الجامعية،
- http://www. Scince. Kuniv.edu. 2. kw
- الفرضية البديلة (Hi) تتوزع درجات الحرارة في منطقة الدراسة بشكل غير طبيعي، وللوصول الى اختبار الفرضية تم تحديد الاتجاه العام ، وبعد ذلك التنبؤ بدرجات الحرارة المتوقعة خلال عشرين عام القادمة.



موقع منطقة الدراسة

للمساحة، بغداد، ١٩٩٢.

اولاً: - معدلات درجات الحرارة الشهرية في منطقة الدراسة.

ان الوضعية الحرارية في منطقة الدراسة هي نتيجة لتفاعل مجموعة من العوامل منها الموقع الفلكي والذي يظهر أثره في تحديد زاوية سقوط الإشعاع الشمسى، وتحديد كمية الإشعاع الشمسى الواصل لسطح الأرض، وهذا يتأثر بمعدل ساعات السطوع الشمسي الفعلى والنظري ، كما يتأثر بباقي عناصر المناخ وطبيعة السطح فضلاً عن الغطاء النباتي.

 ۱- فرضية العدم(Ho) تتبع درجات الحرارة في منطقة ويظهر الجدول(۱) ان درجات الحرارة تأخذ بالارتفاع التدريجي من شهر نيسان وتبلغ(٨، ٢٤) م ، نتيجة لحركة أشعة الشمس الظاهرية باتجاه النصف الشمالي (مدار السرطان)، حتى تصل الى أعلى قيمة لها في شهر تموز وتبلغ(٢،٣٥)م، ثم تأخذ بعد ذلك بالانخفاض حتى تصل اقل قيمة لها في شهر كانون الثاني وتبلغ(۲،۱۲) م.

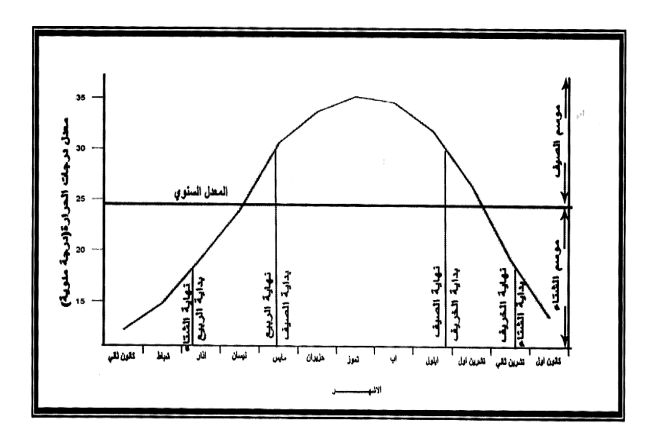
جدول(١) معدلات درجات الحرارة الشهرية (مْ) في منطقة الدراسة.

						حزيران					
۱۳,٦	19,7	۲ ٦, ٤	۳۱,۸	٣٤,٦	٣٥,٢	77,7	٣٠,٦	75,1	19,7	١٤,٨	17,7

المصدر: جمهورية العراق، وزارة النقل، الهيئة العامة للأنواء الجوية العراقية، قسم المناخ بيانات غير منشورة.

ثانيا: - المسار السنوي لدرجات الحرارة في منطقة الدراسة: -سيتناول البحث المسار السنوى لدرجات الحرارة من خلال دراسته لدرجات الحرارة في الفصول الأربعة في منطقة الدراسة. ان الموقع الجغرافي لمنطقة الدراسة يظهر فيه فصلين مميزين هما الصيف و الشتاء، وفصلين انتقاليين هما الربيع والخريف، وقد حدد أطوال كل منهما من خلال المؤشر الحراري، الذي يعتمد المعدلات الحرارية الشهرية لمنطقة الدراسة، ولذلك تكون تستخدم الصيغة :-الحرارة هي العنصر المتولد مباشرة من الإشعاع الشمسي، وهي المحرك الأساس لبقية العناصر المناخية.

ويظهر الشكل(٢) منحنى توزيع المعدلات الشهرية شهر الذروة -المعدل السنوي لدرجات الحرارة) /٢ لدرجة الحرارة في محطة البصرة تشابها في شكله بالمنحنى ألجيبي (Sinuovs curve)وهي حقيقة تستند إلى طبيعة ثم يضاف ناتج المعادلة اعلاه الى المعدل السنوي لدرجات الحرارة النظام الحراري للمنطقة الشبه مدارية (). ويظهر منحنى في محطة البصرة، وبذلك نحصل على درجة حرارة بداية فصل النظام الحراري وجود طوران يفصلهما معدل درجات الحرارة الصيف ونهايته ومن خلالهما يتم تحديد التأريخ المقابل لهما، السنوي العام، ويكون موازي للمحور الأفقى والذي عثل وعليه يكون يوم(١٤مايس) هو بداية لفصل الصيف الذي الزمن، فموسم الصيف هو الطور الموجب، والطور السالب هو يستمر حتى يوم (٢٦ ايلول) وبذلك يبلغ طوله (١٣٦) يوما . موسم الشتاء، إما الفصول فتتجزأ بخط المعدل السنوي العام وبنفس الطريقة نستخرج فصل الشتاء في محطة البصرة، لدرجة الحرارة لمحطة البصرة.



شکل(۲)

توزيع معدلات درجات الحرارة الشهرية (م)في منطقة الدراسة. المصدر: - الشكل من عمل الباحث بالاعتماد على جدول وعلى التوالي(٥١) يوما.

يبدأ موسم الصيف عندما يتساوى المعدل الحراري اليومى مع المعدل السنوي، في حين ينتهي الموسم الصيفي عندما يتساوى من جديد المعدل اليومي للحرارة مع المعدل السنوي وهذا بفعل الزيادة في زاوية سقوط الاشعاع الشمسي ومن

لها. وعليه يبدأ موسم الصيف في منطقة الدراسة في يوم(١٥ نيسان)، ويستمر لمدة (١٩٥) يوما ً، لينتهى في يوم (٢٦ تشرين الاول)، ويبدأ الموسم الشتوي في يوم (٢٧ تشرين الاول) وينتهى في يوم (١٤ نيسان) وعليه يستمر لمدة (١٧٠) يوماً.

اما بالنسبة لتحديد فصل الصيف فيتم من خلال تحديد معدل درجة حرارة شهر الذروة في محطة البصرة (شهر تموز)، وبعد ذلك

درجة حرارة بداية ونهاية فصل الصيف = (معدل درجة حرارة

ولكن بأعتماد معدل درجة الحرارة لشهر كانون الثاني بدل شهر تموز، واتمام الخطوات اللاحقة وتكون بداية فصل الشتاء في يوم(١٧ تشرين الثاني) ليستمر لمدة(١١٤) يوما حتى يوم (١٠ اذار).

أما بالنسبة لفصل الخريف فتكون بدايته في اليوم الذي يلى اخر يوم في فصل الصيف، وهو في منطقة الدراسة (١٢٧ ايلول) وينتهى في اليوم الذي يسبق تأريخ بداية فصل الشتاء وهو يوم (١٦ تشرين الثاني) ، في حين تكون بداية فصل الربيع في اليوم الذي يلي نهاية فصل الشتاء وهو يوم (١١١ذار) ونهايته في اليوم الذي يسبق بداية فصل الصيف وهو يوم (١٣مايس)، وبذلك يكون طول كل من فصلي الربيع والخريف في منطقة الدراسة

على ضوء ما تقدم نلاحظ تباينا في عدد أيام فصول السنة في منطقة الدراسة، ولهذا اثر في وجود فروق في درجات الحرارة لهذه الفصول، ففي فصل الصيف يبلغ المعدل الفصلي(٣٦،٥)م،

ثم الزيادة في كمية الإشعاع الشمسى وما ينجم عنه من فائض حراري يكون السبب في ارتفاع درجات الحرارة في هذا الفصل، ويستمر الارتفاع في معدلات درجات الحرارة خلال فصل الصيف، ويبلغ أقصى ارتفاع له في شهري تموز وآب (٦،٣٤ ، ٧٠٣٥) مْ على التوالي، وهذا بفعل التراكم الحراري الكبير في منطقة الدراسة والمتأثر بطول ساعات السطوع الفعلي، على الرغم من ان اشعة الشمس قد تراجعت قليلاً عن مدار السرطان بعد (۲۱/حزیران) حیث یحدث خلال هذین الشهرین توازن بين كمية الإشعاع الشمسي الواصل الى سطح الأرض وكمية الإشعاع الأرضى، ويكون كلاهما على أعلى حدلهما(). تأخذ بعد ذلك درجات الحرارة بالتراجع البسيط خلال شهر أيلول على الرغم من تعامد أشعة الشمس على خط الاستواء (٢٣ ايلول) وتبلغ خلال هذا الشهر (٣١,٨)م.

أما بالنسبة لفصل الشتاء، فقد أدى انخفاض مقدار زاوية سقوط الإشعاع الشمسى الى أدنى معدلاتهما وقلة في معدلات ساعات السطوع الفعلي والنظري، الى تراجع في كمية الحرارة المكتسبة وبلغ معدل درجة حرارة هذا الفصل (١٤) م، ويبلغ ادنى انخفاض لمعدل درجات الحرارة خلال هذا الفصل في شهر كانون الثاني ويبلغ(١٢,٢)مْ وهذا بفعل ابتعاد أشعة الشمس العمودية عن منطقة الدراسة.

على حسابهما فصلى الصيف والشتاء، وتسجل معدل درجات الحرارة فيهما (٢٠,٥، ٢٦,٣) م على التوالي .

ثالثا: - تحليل المسار العام لمعدلات درجات الحرارة في منطقة الدراسة.

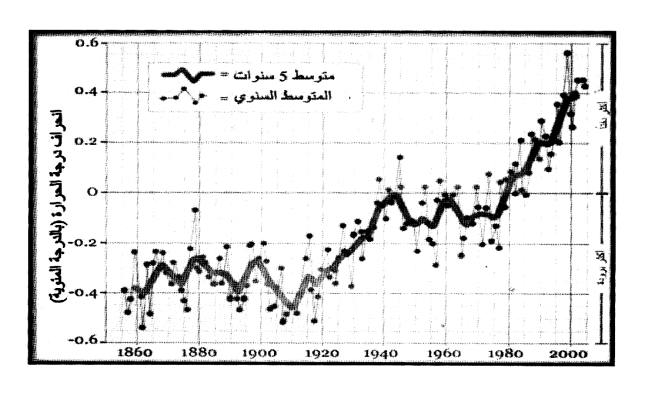
عرفت الارض العديد من التغييرات المناخية على مدار التأريخ الانساني والتي استطاع العلماء تبريرمعظمها بأسباب طبيعية، ولكن الزيادة في درجات الحرارة خلال القرنين الماضيين وخاصة العشرين سنة الأخيرة، لم يستطيع العلماء إخضاعها للأسباب الطبيعية فقط، وإنما للنشاط البشري الذي تسارعت وتيرته منذ الثورة الصناعية ، ومع التقدم في الصناعة ووسائل المواصلات، زاده الاعتماد على الوقود الاحفوري (البترول والغاز الطبيعي

والفحم) كمصدر أساس للطاقة، ولذلك أدى وجود نواتج الاحتراق لتلك الوقود، غازات في الغلاف الجوي ساهمت في زيادة درجة الحرارة لسطح الأرض.

وفي دراسة لوحدة الأبحاث المناخية في جامعة ايست انجيليا على اتجاه درجات الحرارة خلال القرن ونصف القرن الماضى. اشارت الى ان (هنالك تذبذبات حادة من عام الى اخرففي خلال بعض الفترات كما في اربعينيات القرن الماضي، حدث هبوط في درجات الحرارة العالمية، ولكن الاتجاه الاجمالي كان في صعود خلال هذه الفترة).

ويظهر الشكل (٣) ارتفاع درجات الحرارة العالمية على مدى المائة وخمسين عاما الماضية ، حيث تمثل الفترة من عام (١٩٦١-١٩٩٠) نقطة المقارنة لهذا الرسم ، ولهذا كان متوسط درجة الحرارة في عام (٢٠٠٠) اعلى من متوسط الفترة (١٩٦١ – ١٩٩٠) بمقدار (٠,٤)مْ في حين كان عام (١٩٠٠) اقل من متوسط الفترة (۱۹۹۱ – ۱۹۹۰) بمقدار (۲۰٫۳) مْ.

كذلك تشير تقديرات لجنة (Ipcc) الاممية الى ان الارض ستتعرض اذا ما ظلت انبعاثات الغازات الدفيئة على وتيرتها الحالية، لارتفاع في درجات الحرارة بمقدار اربع درجات في المتوسط ، وستتباين هذه الزيادة من منطقة الى اخرى، فتقتصر هذه الزيادة على (٢ مْ) في منطقة جنوب شرق اسيا واميركا الجنوبية، اما ما يتعلق بالفصلين الانتقاليين (الخريف والربيع) فقد توسع بينما ستحظى منطقة شبه الجزيرة العربية والشام وشمال افریقیا بزیادة تتراوح بین (-0) مْ () .



شکل (۳) درجات الحرارة العالمية

المصدر/ بحث تغيرات المناخ العالمي والطاقة منشور في Future Journal على الموقع www.cru.uea.ca.uk

ولغرض تحليل المسار العام لدرجات الحرارة في منطقة الدراسة، سيتم استخدام برنامج (Minitab) للوصول لتحليل البيانات واستخراج المعالم الاحصائية وتحديد القيم الشاذة واختبار (Ryan – Joiner) لقياس المعيارية وبناء نموذج تنبؤي استنادا لطريقة (بوكس – بيرس) المحورة (لاحظ جدول ٢).

يظهر رسم (Box plot) ان بيانات منطقة الدراسة لايوجد فيها قيم شاذة. لاحظ شكل (٤)، في حين نجد من الجدول (٣) و الشكل (٥) توزيعا طبيعيا لبيانات محطة البصرة، لذا تقبل فرضية العدم القائلة بالتوزيع الطبيعى للقيم. وان قيمة الاتجاه العام للسلسلة الزمنية في منطقة الدراسة تظهر ارتفاعا بلغ(٤٠,٠٤) وهذا مؤشر على تفاقم المشكلة، وذلك لان الإسراف في استخدام الوقود الاحفوري يؤدي الى زيادة تركيز غازات ثاني اوكسيد الكربون وبخار الماء والميثان واوكسيد النيتروجين، وعلى الرغم من أهمية ثاني اوكسيد الكربون وبخار الماء للحياة على سطح الأرض، إذ بدو نهما قد تصل درجة الحرارة على سطح الأرض الى (- ١٥)م ، ولكن هذه الممارسات أدت الى زيادة نسبتهما في الوقت الذي قل فيه معدل امتصاصهما، لتراكم كميات كبيرة وزائدة عن الحد في طبقات الغلاف الجوى، وهو ما أدى الى تعاظم تاثيرهما وبالتالي حبس كميات زائدة من الحرارة داخل الغلاف الجوى، مسببة ظاهرة الاحتباس الحرارى .(Global warming)

جدول (۲) معدلات درجات الحرارة السنوية (مْ) في منطقة الدراسة للفترة (1981-0.00)

السنة	درجــــة	السنة	درجـــة	السنة	درجــــة
	الحرارة		الحرارة		الحرارة ٢٥,٣
1981	78,1	1970	75,0	1949	70,7
1984	75,8	1977	70	199.	70,9
1987	77,1	1977	17,0	1991	۲٥,٠
1988	45	1971	75,7	1997	70,1
1980	77,7	1979	71,1	1998	70,5
1987	77,7	197.	75,7	1998	77,1
1984	71,9	1971	75,1	. 1990	70,0
1988	77,7	1977	۲۳, ٤	1997	77,7
1989	77,7	1977	71,1	1997	Y7,·
190.	۲۳,۸	1978	77,9	1991	77,7
1901	71,9	1940	75,1	1999	77,7
1904	71,0	1977	77,9	۲۰۰۰	77,77
1905	۲۳,۸	1977	75,7	71	70,9
1908	75,7	1971	75,5	77	۲٦,٤
1900	71,0	1979	70,7	7٣	Y0,1
1907	77,0	191.	70,7	75	70,7
1907	۲۳,۸	1941	70,7	70	77,7
1908	71,0	1947	71,1		
1909	77,0	1917	71,7		
197.	71,4	1916	70,1		
1971	77,9	1940	Y0,£		
1977	70,7	1947	70,7		
1975	71,7	1947	17,1		
1978	77,7	1911	40,0		

المصدر: جمهورية العراق، وزارة النقل، الهيئة العامة للانواء الجوية العراقية، قسم المناخ بيانات غير منشورة.

الجدول (٣) قيم اختبار R.J للمعيارية في منطقة الدراسة

Y £ , V 9	المعدل
.,9047	الانحراف المعياري+SD
٠,٩٨٨	قيمة اختبار R.J
•,1••	p.value الاحتمالية

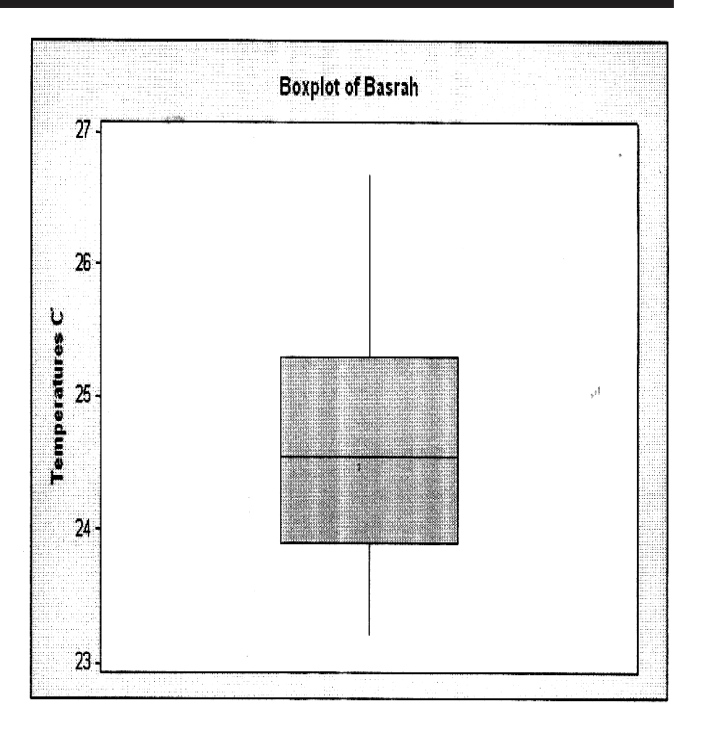
المصدر: الجدول من عمل الباحث بالاعتماد على جدول (٢)

وزيادة في تحليل وفهم سلوك درجات الحرارة سيصار الى تقسيم السلسلة الزمنية لفترات تميزت بها السلسلة الزمنية بميزات واضحة، يجب التوقف عندها لتفسير اكثر دقة للمسار العام للسلسلة في منطقة الدراسة.

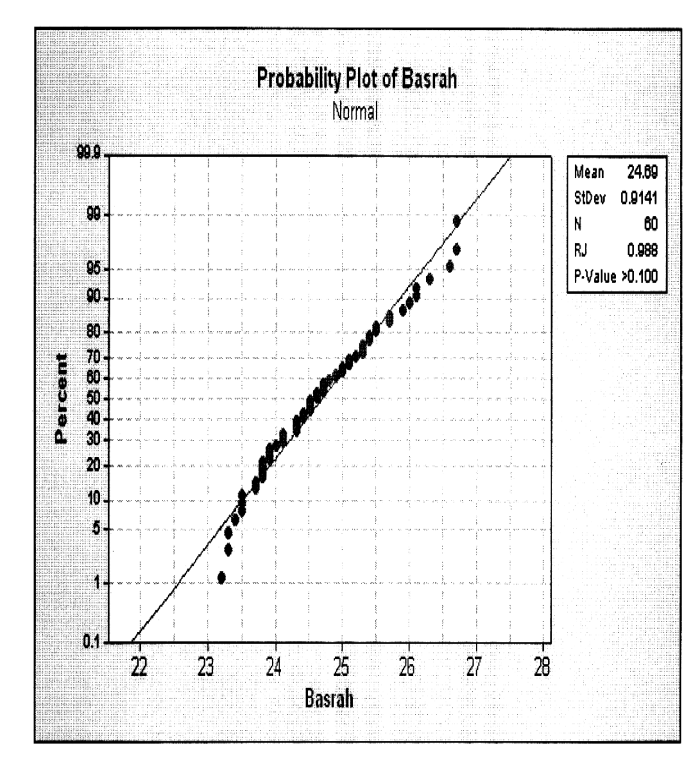
الفترة الأولى (١٩٤١ – ١٩٦١).

يظهر الشكل (٦) إن المسار العام لمعدلات درجات الحرارة في منطقة الدراسة اخذ بالارتفاع وبلغ (٢,٠٠٠). في حين يشير الشكل (٧أ) الى ان المسار العام لدرجات الحرارة في منطقة الدراسة، يظهر ارتفاعا طفيفا جدا بلغ (٢٠٠٨) وميلا نحو الاقتراب من خط الاعتدال في المسار العام ، وبلغ معدل درجة الحرارة خلال هذه الفترة (٢٤٠٠) م ، وهذا يعود للموقع الفلكي والضوابط الطبيعية المتحكمة في مناخ منطقة الدراسة ، اكثر مما يعود للعامل البشري، لقلة الملوثات بسبب الواقع الاقتصادي وخاصة الصناعات الملوثة في منطقة الدراسة والقطر عموما، وحيث تشير احدى الدراسات ان كمية انبعاث غاز ثاني اوكسيد الكربون في العراق عام ١٩٥٠ بلغ (٤٥٠) الف طن ().

وسجل أعلى معدل سنوي لدرجة الحرارة خلال هذه الفترة (٢٤,٩) مْ ، في عامي (١٩٤٧، ١٩٥١)، في حين بلغ أدنى معدل لها (٢٣,٢) مْ في عام (١٩٤٩). (لاحظ جدول (٢))

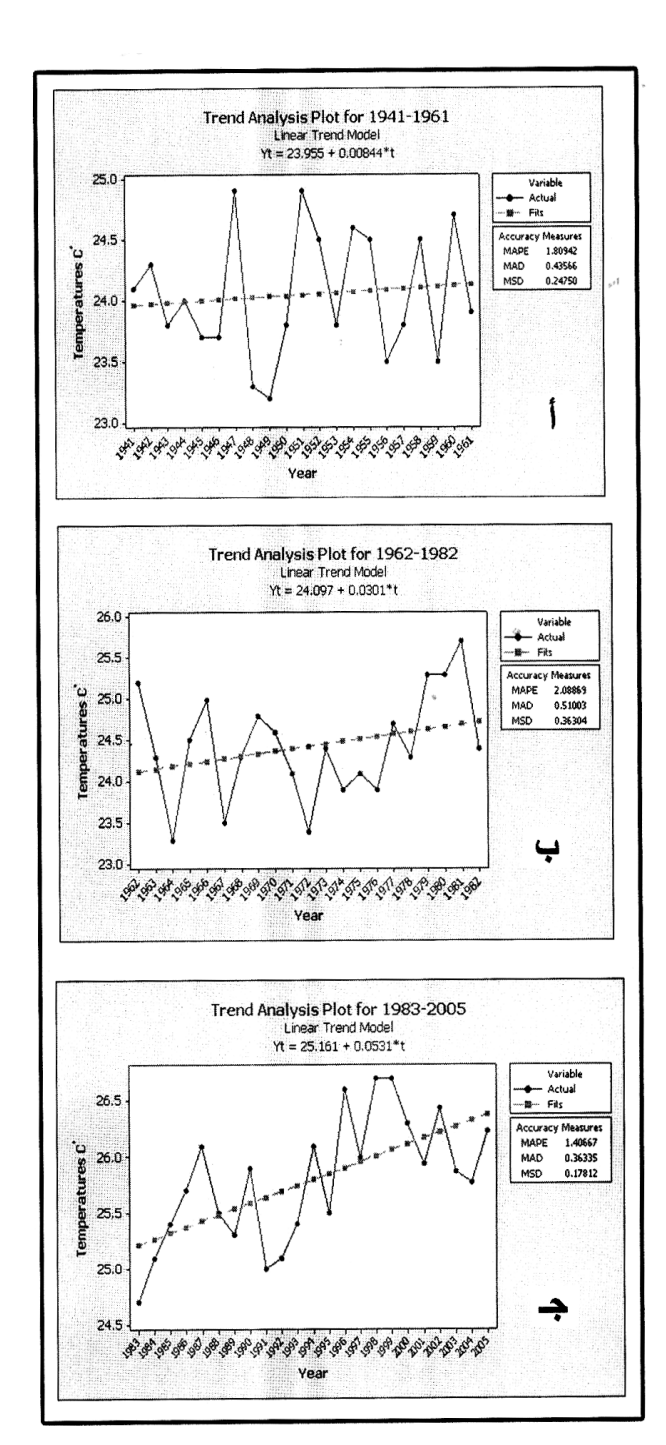


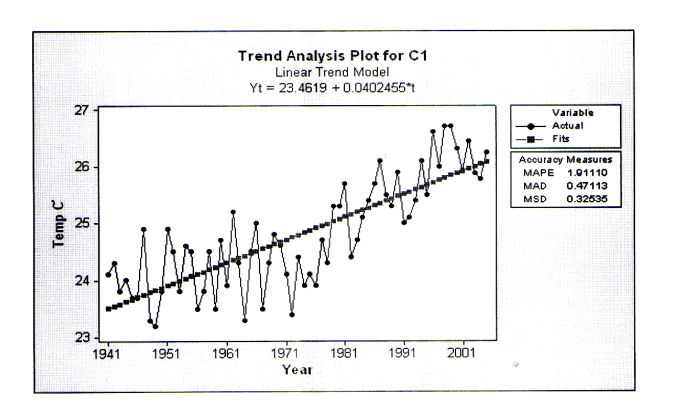
شكل (٤)
قيم درجات الحرارة الشاذة في منطقة الدراسة
المصدر: شكل من عمل الباحث بالاعتماد على جدول (٢)



شكل (٥) منحنى الاحتمالية لمعدلات درجات الحرارة السنوية في منطقة الدراسة

المصدر: شكل من عمل الباحث بالاعتماد على جدول (٢)





شكل(٦)
المسار العام لمعدلات درجات الحرارة(مْ) في منطقة الدراسة المصدر: الشكل من عمل الباحث بالاعتماد على جدول (٢)

(٢) الفترة الثانية (١٩٦٢ –١٩٨٨)

يظهر الشكل(٧ب) ارتفاعاً كبيرا في المسار العام لدرجات الحرارة عما هو عليه في الفترة السابقة بلغ(٢٠,٠)، وان المعدل السنوي لدرجات الحرارة خلال هذه الفترة بلغ (٢٤,٤)م وهذا يزيد عن معدل درجة الحرارة في الفترة الأولى بـ(٢٠,٠) م وأعلى معدل بلغ(٢٥,٣) م في عامي(١٩٧٩ و١٩٨٠)، بينما سجل أدنى معدل (٢٣,٣) م في عام (١٩٦٥). ويعود هذا لزيادة عدد السكان معدل (٢٣,٣) م في عام (١٩٦٥). ويعود هذا لزيادة استهلاك وزيادة الملوثات بفعل زيادة النشاط الاقتصادي وزيادة استهلاك الوقود، والتوسع في صناعة وتكرير النفط والتي يتركز معظم حقولها في منطقة الدراسة من العراق، وقد بلغت كمية انبعاث ثاني اوكسيد الكربون في العراق في عام (١٩٧٩)بحدود (١٣٩٤٩)

شكل(٧) المسار العام لدرجات الحرارة (مْ) خلال الفترات الثلاث في منطقة الدراسة

المصدر: الشكل من عمل الباحث بالاعتماد على جدول (٢)

(٣) الفترة الثالثة (١٩٨٣ – ٢٠٠٥)

يظهر ارتفاعاً في الاتجاه العام بلغ (٠,٠٥)، وميلاً نحو الزيادة في معدلاتها، وبلغ أعلى معدل سنوي لدرجات الحرارة خلال قيمة (MAE)، لاحظ جدول(٤). هذه الفترة(٢٦,٧)م°، في عامى(١٩٩٨و ١٩٩٩) بينما سجل أدنى معدل في عام (١٩٨٣)م وبلغ (٢٤,٧)مْ ، في حين بلغ معدل درجة حرارة هذه الفترة (٨,٥١) م، وهو يزيد عن المعدل في الفترة الأولى والثانية بـ (١,٨ ، ١,٤) م على التوالي، وهذا بفعل النشاط البشري وخاصة الصناعي منه، والذي أسهم بزيادة نسبة انبعاث الغازات الملوثة والمطروحة في الغلاف الجوي، وقد بلغت كمية انبعاث غاز ثاني اوكسيد الكاربون في العراق ومنها منطقة الدراسة خلال عام (٢٠٠٠) بحدود (٢٢٥٤٦) ألف طن ().

> مما تقدم نستنتج إن المسار العام لدرجات الحرارة في منطقة الدراسة آخذ بالارتفاع، والتي تبدو للوهلة الأولى طفيفة وغير مؤثرة، ولكنها كافية لإحداث تغير في مسار التيارات الهوائية وكميات السحب والتساقط ، وحركة التيارات والأمواج البحرية وغيرها من العوامل المتحكمة في طبيعة المناخ، وهذا بفعل الكميات الهائلة التي تم إنتاجها من الغازات الملوثة على مدار السنوات الماضية، وان تخفيض تلك الانبعاثات للغازات الملوثة قد يبطىء من تأثيرها.

> نستنتج أيضا ان المسار العام لدرجات الحرارة في منطقة الدراسة هي متطابقة بشكل كبير مع ما أشارت لها الدراسات المناخية العالمية، وان كانت بنسب اقل حدة، ولكن العالم ما هو الا قرية صغيرة ، وأى خلل يحدث في منطقة تظهر أثاره في أجزاء اخرى من العالم، وهذه علامات واضحة ينبغى التنبه لها، وقد يكون لها أثار كارثية على منطقة الدراسة والعالم اذا لم تتخذ في ذلك الإجراءات المناسبة.

> ولغرض بناء نموذج تنبؤي يشير لما سيكون عليه المسار العام لدرجات الحرارة في منطقة الدراسة ، اتبعت المنهجية العلمية في ذلك.

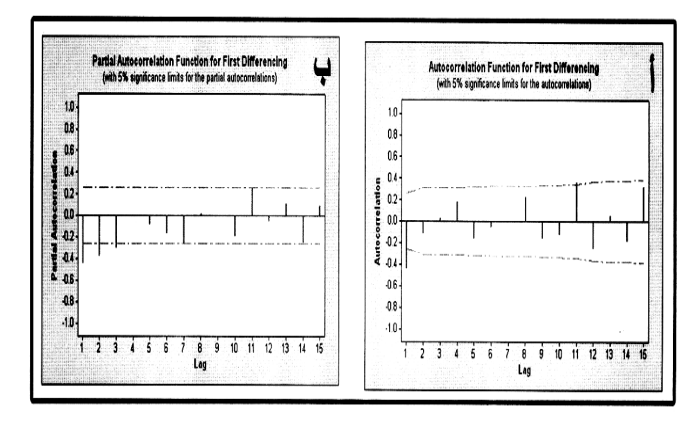
> ومن تحليل قراءات دالة الارتباط الذاتى والارتباط الذاتى الجزئى، ظهر عدم استقرار السلسلة في محطة البصرة، لذا تم أجراء الفرو قات وظهر ان الفرو قات من الدرجة الأولى كافية

لاقتراح النموذج كما مبين في الشكل (٨)، لذا فان النموذج نلاحظ في الشكل (٧جـ) أن المسار العام لدرجات الحرارة المقترح لها هو الار يما(٢،١،٣)، وبمقارنته مع عدد من النماذج الأخرى، تبين ان النموذج المقترح للار يما(٢،١،٣) له اقل

جدول (٤) نتائج القياس النهائي لموديل اريا (٣.١.٢) في منطقة الدراسة.

قيمة(P)		الخط القياسي	العامل	النوع
	قيمة T	للعامل		,,,
٠,٤١٦,٠	٠,٨٢ _	٠,٨٩٨٤	٠,٧٣٥٨ _	AR1
٠,٤٩١	٠,٦٩ _	۰,۲٦٣٨	٠,١٨٣٠ _	AR2
٠,٣٤٧	٠,٩٥_	٠,١٧٣٥	٠,١٦٤٥ _	AR3
٠,٩٥٢	٠,٠٦	٠,٩٠٢٣	٠,٠٥٤٧	MA1
٠,٥٠٦	٠,٦٧	٠,٧٤٦١	٠,٤٩٩٨	MA2
٠,٠١٦	٢,٤٩	٠,٠٣٥١	٠,٠٨٧٥	الثابت

المصدر: الجدول من عمل الباحث بالاعتماد على جدول (٢)



شکل(۸)

دالة الارتباط الذاتي (أ) ودالة الارتباط الذاتي الجزئي (ب) لمعدلات درجات الحرارة من منطقة الدراسة.

المصدر: الشكل من عمل الباحث بالاعتماد على جدول (٢)

بالمعدل السنوى العام لدرجات الحرارة في منطقة الدراسة، لاحظ جدول(٥).

جدول (٥) نتائج احصائية Box-Pierce المحورة لنموذج ار يما ٣٠. ١. ٢) للتنبؤ بالمعدل السنوي لدرجات الحرارة في منطقة الدراسة

٤٨	٣٦	7 £	11	التأخيرLog
٤٨,٣	٤٢,١	٣٢,٧	17,9	كآي المحسوبة
£ Y	۳۰	۱۸	1	درجات الحرية
٠,٢٣٣	٠,٠٧١	٠,٠١٨	٠,٠٤٥	قيمة المعنوية
11,707	٤٩,٨٥٢	47, £10	۲۱,۰۲۳ _«	كآي الجد ولية

المصدر: الجدول من عمل الباحث بالاعتماد على جدول (٢)

ويؤكد ما تقدم الشكل(٩)، حيث نلاحظ ان البواقي تنتظم بشكل خطى في منحنى الاحتمالية، وإن الرسم البياني يشير للتوزيع الطبيعي للبواقي، وان معادلة الار يما للتنبؤ بالمعدل السنوى لدرجة الحرارة في منطقة الدراسة تكون بالشكل الأتى: -

 \cdot , 1780-7+t \cdot , 100-1+t \cdot , $7787+\cdot$, 000-200Y-Et ., £99A+ 1-., . 0 £ V E t + E t + T + t

Residual Plots for Basrah

شكل(٩) أشكال البواقى للنموذج المقترح الار يما (٢,١,٣) في منطقة الدراسة

المصدر: الشكل من عمل الباحث بالاعتماد على جدول (٢)

ولبيان ملائمة النموذج المقترح تمت مقارنة(٢٢) المحسوبة ومن خلال تطبيق النموذج المقترح ، نلاحظ من جدول(٦) ان من النموذج بأختبار (بوكس - بيرس)المحور، مع قيمة(٢ ٢) القيم المتوقعة للمعدل السنوي لدرجات الحرارة للسنوات الجدولية، واكدت النتائج ان النموذج المقترح ملائم للتنبؤ القادمة(٢٠٠٦-٢٠٠٥) ، تظهر اتجاها نحو الارتفاع، ويتوقع ان يسجل عام (٢٠٢٥)م اعلى معدل سنوي متوقع لدرجة الحرارة ويبلغ (١٩، ٢٧)م، وهو يزيد عن المعدل السنوي لفترة الدراسة بـ(۲،٤)مْ.

بينما يتوقع ان يسجل عام(٢٠٠٦) اقل معدل سنوي متوقع لدرجة الحرارة ويبلغ(٢٧،٢٦)مْ وهو يزيد ايضا ً عن المعدل السنوي في منطقة الدراسة بـ(١، ٤٨) م.

جدول (٦) المعدلات السنوية المتوقعة لدرجات الحرارة (م) في منطقة الدراسة للفترة $(7 \cdot 7 - 67 \cdot 7)$

درجة الحرارة	السنة
المتوقعة	
77,77	77
77, £7	٧٠٠٧
۲٦,٤٨	۲۰۰۸
77,07	۲٩
77,00	۲.١.
77,71	7.11
Y 7 , 7 £	7.17
Y 7 , 7 9	7.17
77,77	7.15
77,77	7.10
Y7,A1	7.17
Y ٦ , ٨ ٦	7.17
77,9.	7.17
77,9 £	7.19
77,91	۲.۲.
77,.7	7.71
۲٧,٠٦	7.77
77,11	7.77
۲۷,۱٥	7.75
YV,19	7.70

المصدر: الجدول من عمل الباحث بالاعتماد على جدول (٢)

مما تقدم نستنتج إن المعدلات السنوية المتوقعة لدرجات الحرارة في منطقة الدراسة ، آخذ بالارتفاع بوتائر متسارعة ، يجب التوقف عندها ومعالجتها، لان الاستمرار في زيادة درجات الحرارة ينذر بكارثة محققة، وتوكد هيئة مستشارى تغير المناخ(IPCC) التابعة للأمم المتحدة (أن المتسبب الرئيسي في زيادة درجة الحرارة على سطح الأرض هو التلوث الهوائي الناتج عن الأنشطة البشرية المختلفة ، ومن المحتمل ان تصل الزيادة في درجات الحرارة ال(١٠,٥)مْ عن معدلها الحالي في نهاية هذا القرن ، مما يعنى النقص الشديد في موارد المياه العذبة نتيجة تبخرها وارتفاع مستوى المياه في البحار والمحيطات نتيجة لذوبان الثلج في الأقطاب المتجمدة بمعدل قد يصل الى (١٠) قدم، مما سيؤدي الى غرق معظم المناطق الساحلية، إضافة للكوارث البيئة الأخرى)().

لذا يرى الباحث ضرورة الخفض السريع والفعال لنسب العدد (٢٥، ٢٤)، ١٩٩٠. انبعاث الملوثات في منطقة الدراسة، واهمها ثاني اوكسيد الكاربون الذي يمثل (٦٣٪) من الغازات الملوثة، وذلك عن طريق التوجه نحو استخدام الطاقة النظيفة مثل الطاقة الشمسية وطاقة الرياح والمتوفرة في منطقة الدراسة، بدلاً من بغداد، ٢٠٠٢. الاعتماد على الوقود الاحفوري.

الاستنتاجات:

يظهر في منطقة الدراسة موسمين هما الصيف وبلغ كلية الآداب، جامعة البصرة، ١٩٨٨. طوله (١٩٥) يوماً، وموسم الشتاء الذي بلغ طوله (١٧٠) يوماً، وانهما ينقسمان الى فصول أربعة، ظهر ان فصل الصيف تفوق على غيره من الفصول من حيث الطول وبلغ عدد أيامه(١٣٦) يوماً ، يليه فصل الشتاء الذي بلغ عدد أيامه(١١٤) يوماً ، ثم بغداد ، ١٩٩٢. فصلان انتقاليان تُوسع على حسابهما هما فصل الخريف وفصل الربيع وبلغ طولهما على التوالي (٥١) يوما .

> أظهرت السلسلة الزمنية لمسار معدلات درجات الحرارة السنوية في منطقة الدراسة اتجاها ويحو الارتفاع بلغ(٠٤،٠)،ولكن اختلفت نسبه استنادا للفترات التي حددت في السلسلة الزمنية ، حيث كانت الزيادة طفيفة مالبثت ان ازدادت وتيرتها خلال السنوات الأخيرة من البحث.

سجلت الفترة الثالثة خلال السنوات(١٩٨٣-

٢٠٠٥)م ارتفاعا ً في المسار العام لدرجات الحرارة بلغ(٠،٥٠)، بحيث زاد المعدل السنوي لدرجات الحرارة خلال هذة الفترة عن الفترة الأولى والثانية (١،٨،١)مْ على التوالى، من السلسلة الزمنية للمسار العام لدرجات الحرارة في منطقة الدراسة.

٤ - ظهر ان المسار العام المتوقع لدرجة الحرارة السنوي في منطقة الدراسة اتجاها منحو الزيادة، وبمعدلات اكبر مما هو عليه من المعدل السنوى فيها.

o - تطابق المسار العام لدرجات الحرارة السنوي في منطقة الدراسة مع المسار العام لدرجات الحرارة العالمي، ولكن بوتيرة اقل حدة.

المصادر:

١ - القشطيني ، باسل أحسان ، الكتل الهوائية التي تعترض منطقة بغداد في فصل الأمطار، مجلة الجمعية الجغرافية العراقية،

٢-الالوسى ، ضياء صائب احمد إبراهيم ، ظاهرة الانحباس الحراري وتأثيرها في درجة حرارة وأمطار العراق، رسالة ماجستير(غير منشورة)، كلية التربية (ابن رشد)، جامعة

٣- ديري ،عبد الأمام نصار، تحليل جغرافي لخصائص مناخ القسم الجنوبي من العراق، رسالة ماجستير(غير منشورة)،

٤ - جمهورية العراق، وزارة النقل، الهيئة العامة للأنواء الجوية العراقية، قسم المناخ بيانات غير منشورة.

٥. جمهورية العراق، وزارة الري، الهيئة العامة للمساحة،

6-Basile. Al-Kishtaini, Les oscillations climatiques et leur impact surle milieu physigue». These dudoetorat. University deparis-sorbonne، 1985.

7-http://www.Khama.com 8-http://www.aljazeera.net 9-http://www.cru.uea.ca.uk